

FIG. 1

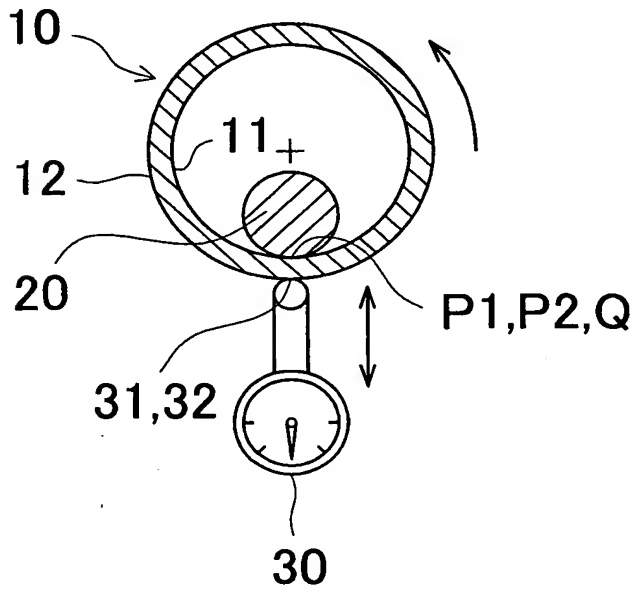


FIG. 2

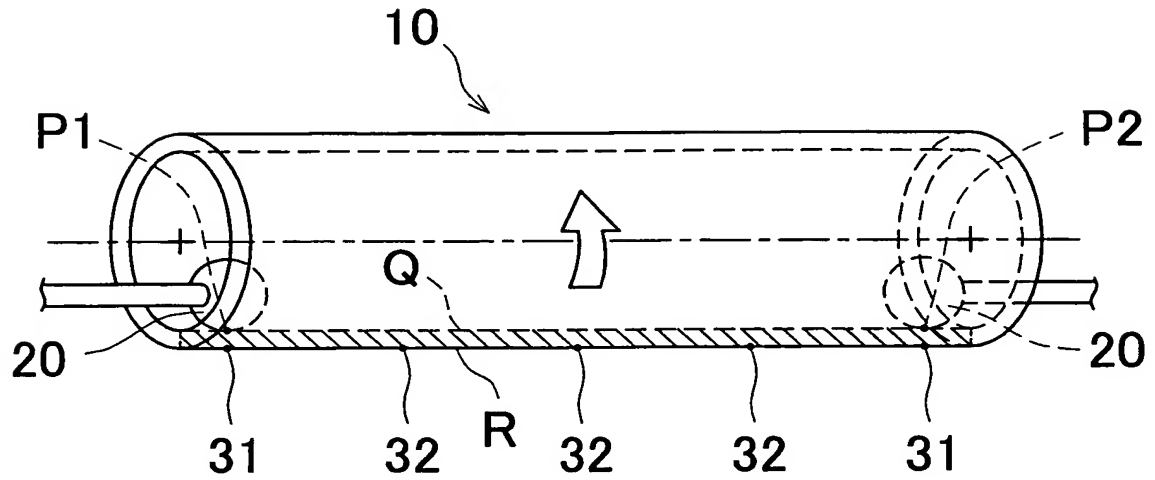


FIG. 3

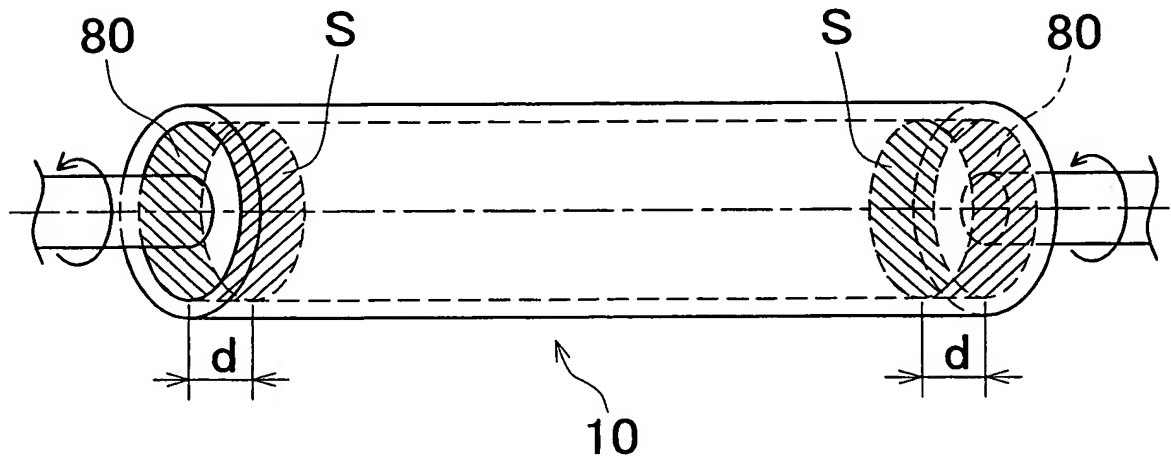


FIG. 4

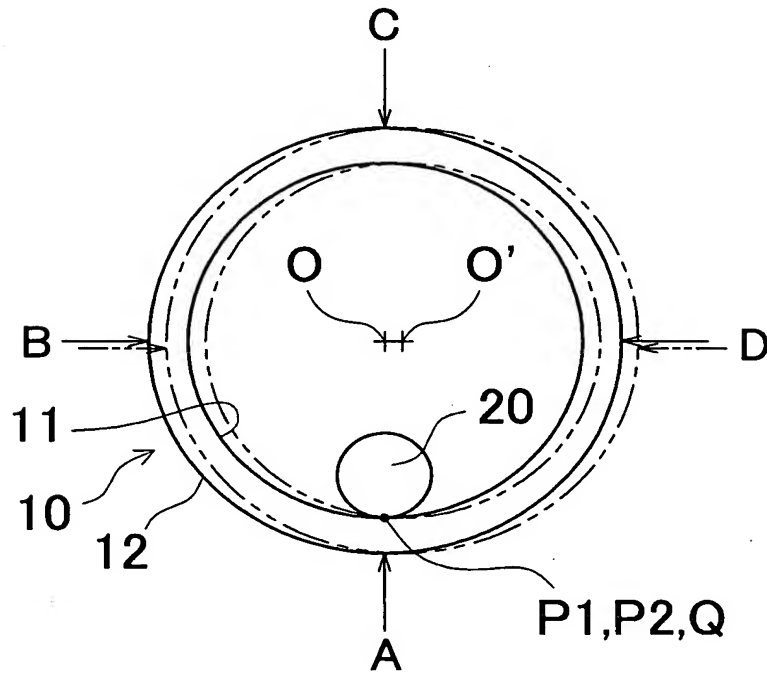


FIG.5

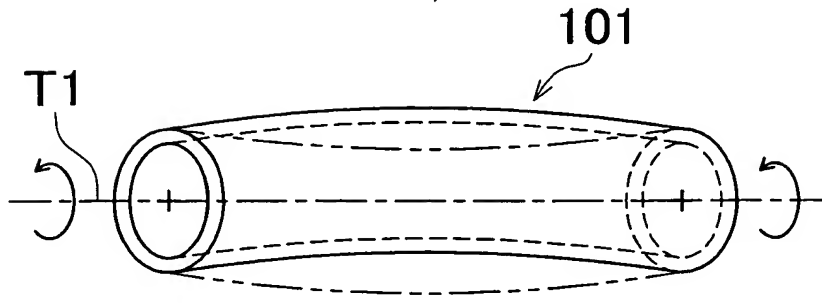


FIG. 6A

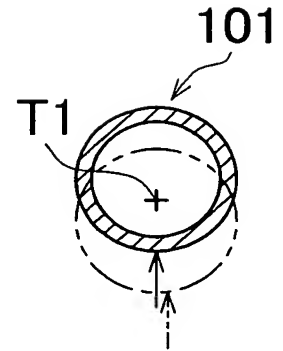


FIG. 6B

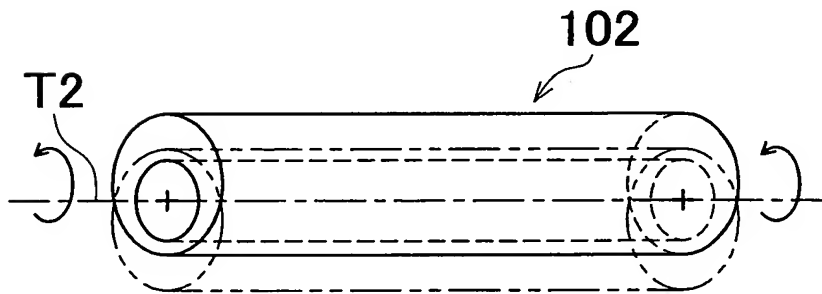


FIG. 7A

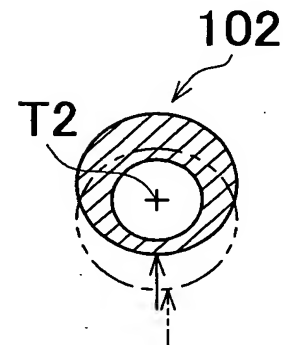


FIG. 7B

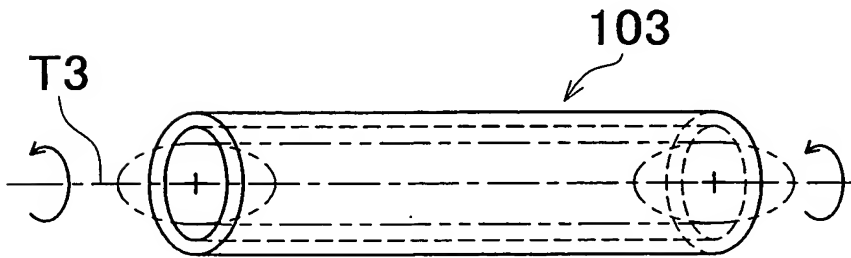


FIG. 8A

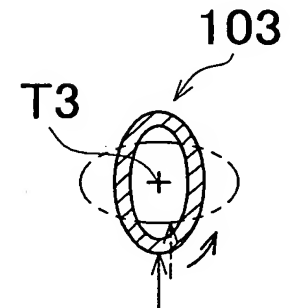


FIG. 8B

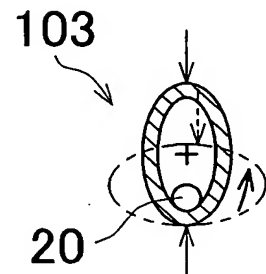


FIG. 8C

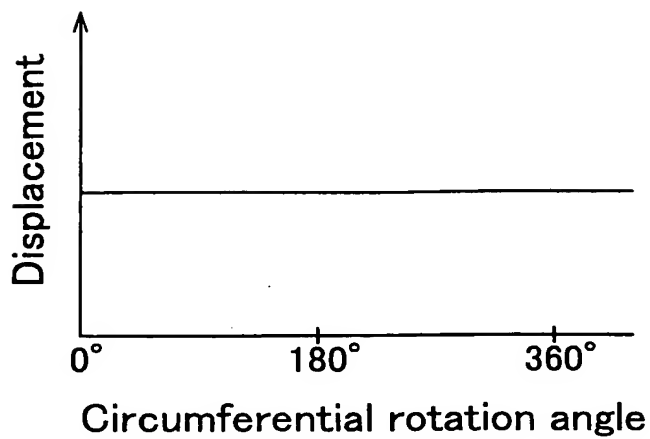


FIG.9A

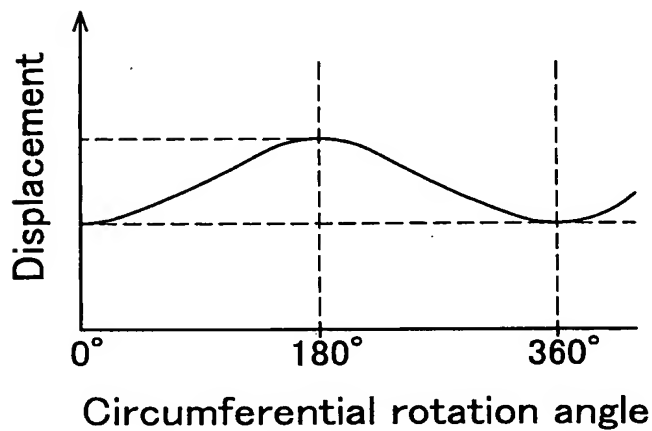


FIG.9B

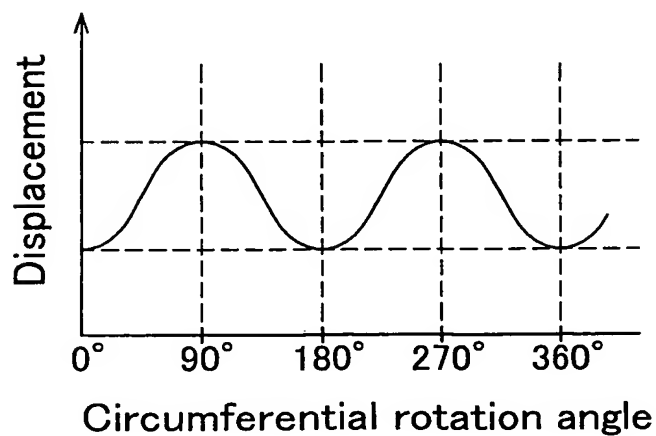


FIG.9C

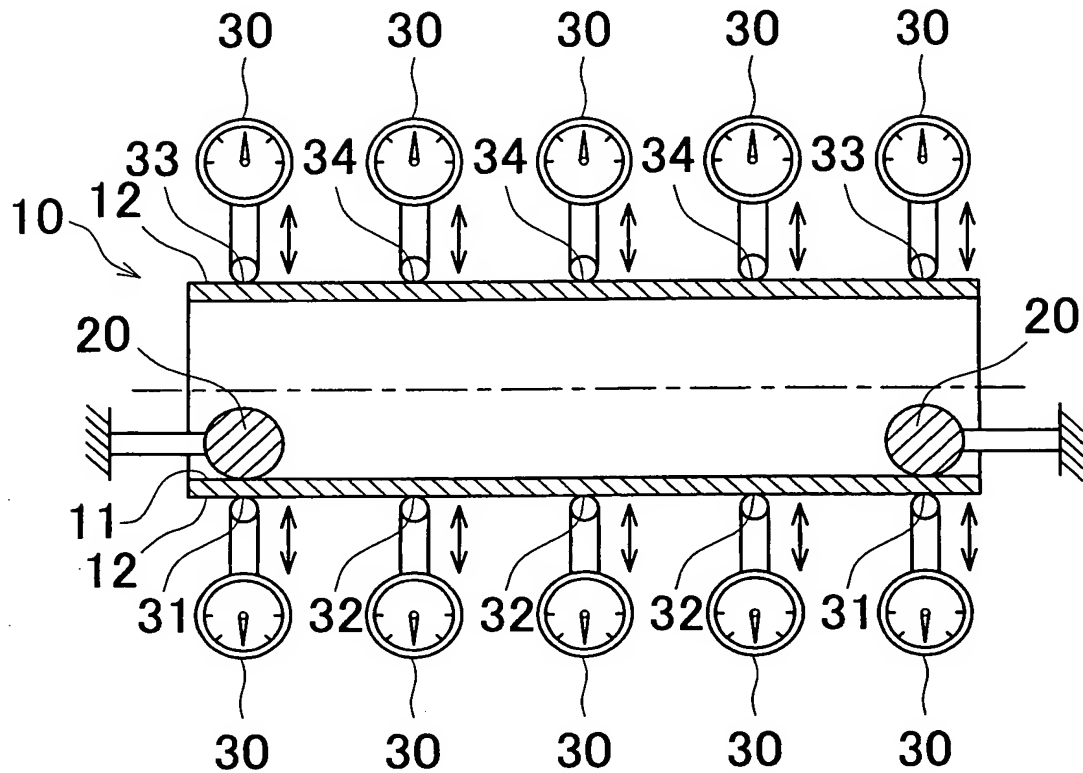


FIG. 10

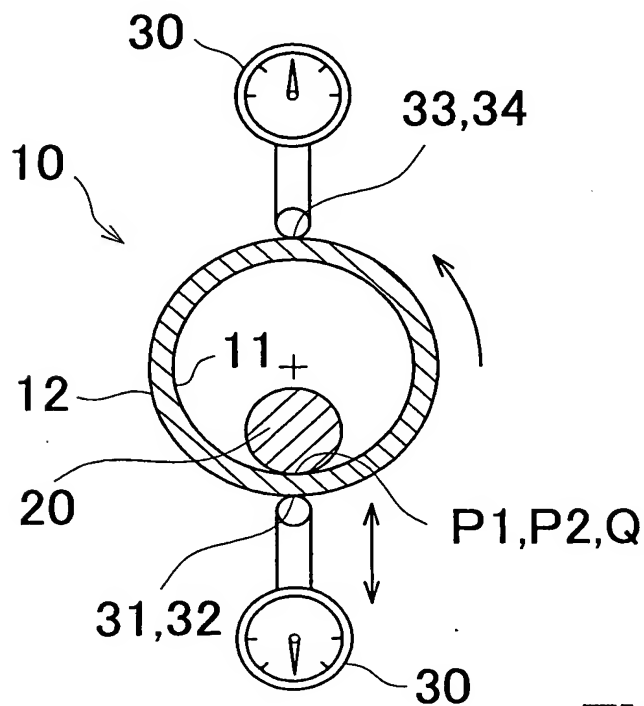


FIG. 11

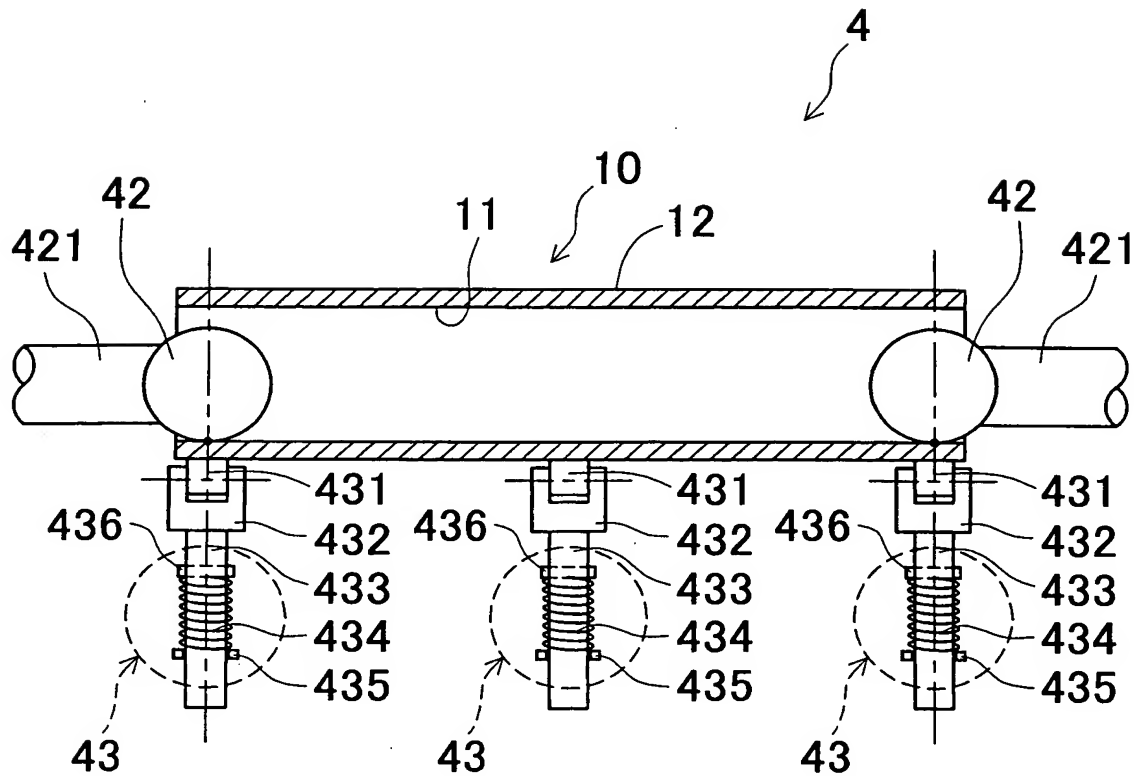
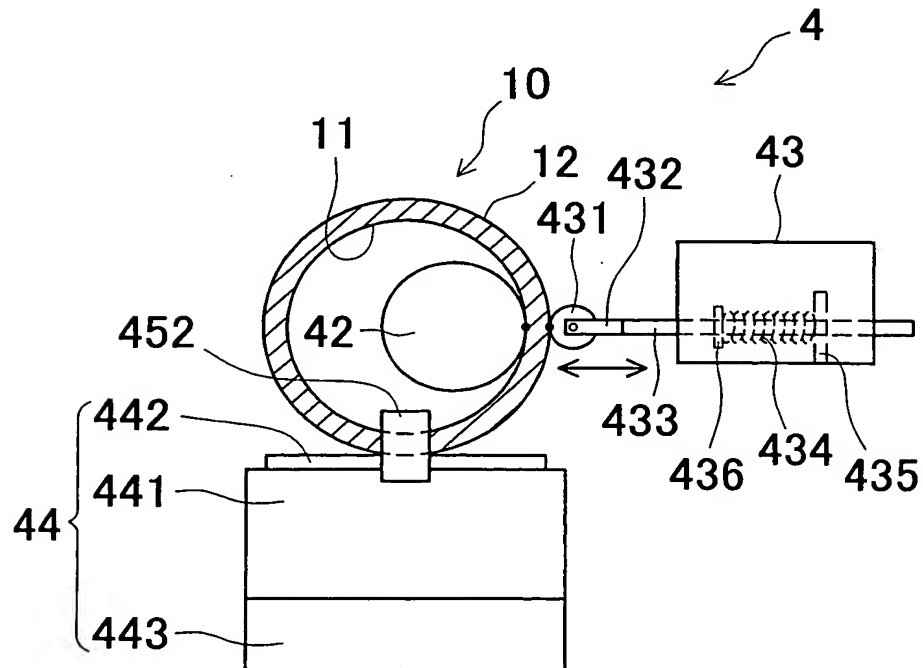
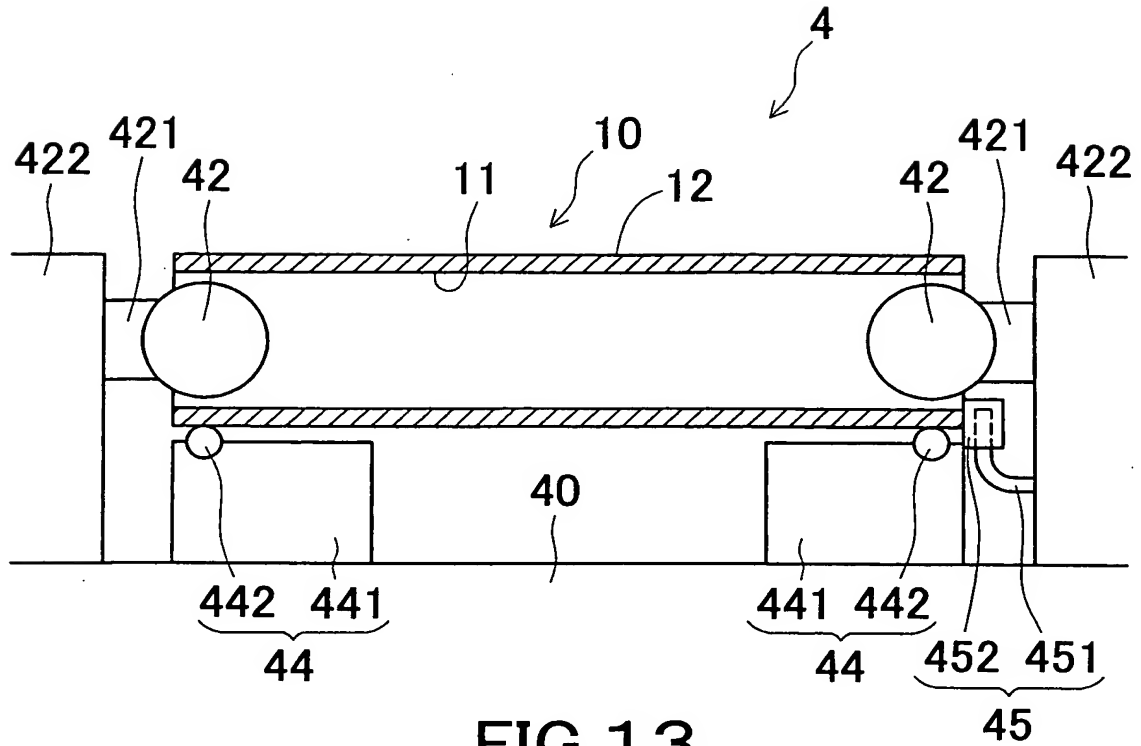
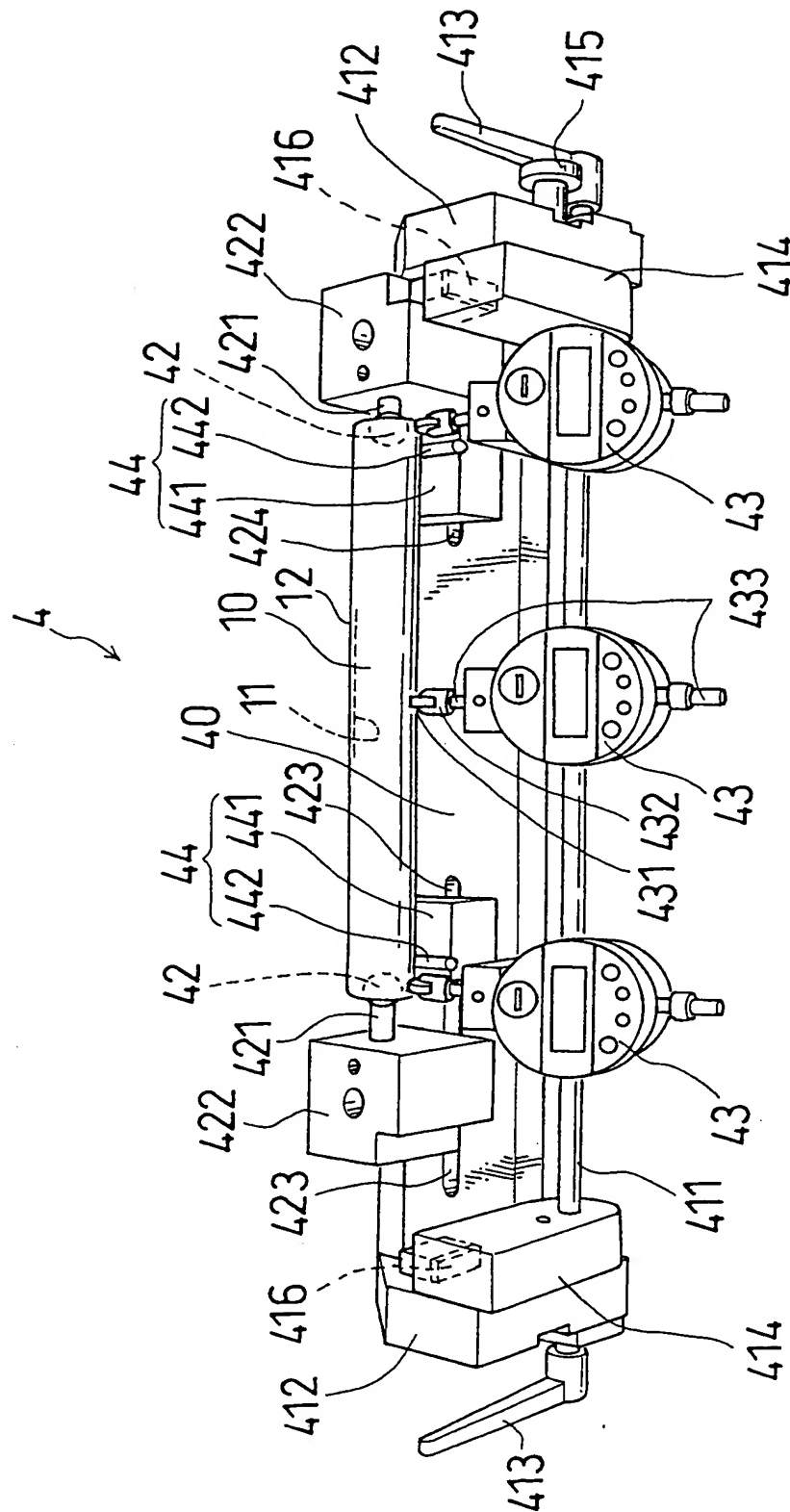


FIG. 12







**FIG. 15**

FIG. 16A

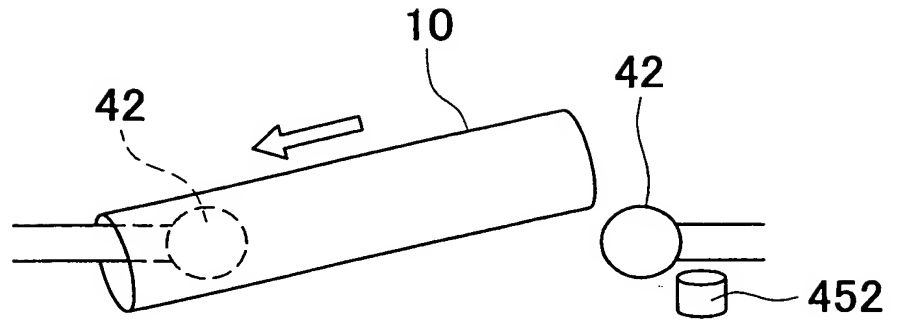


FIG. 16B

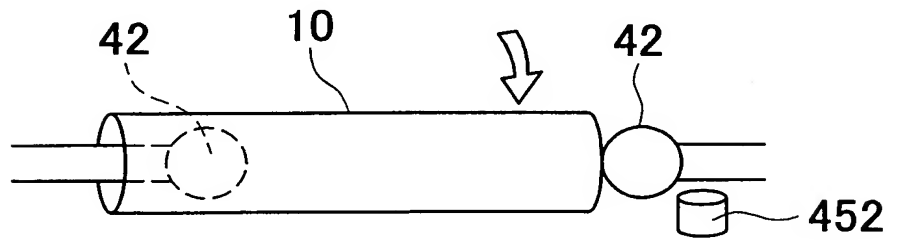
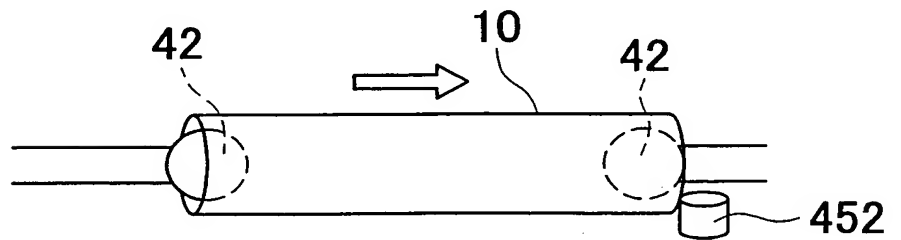


FIG. 16C



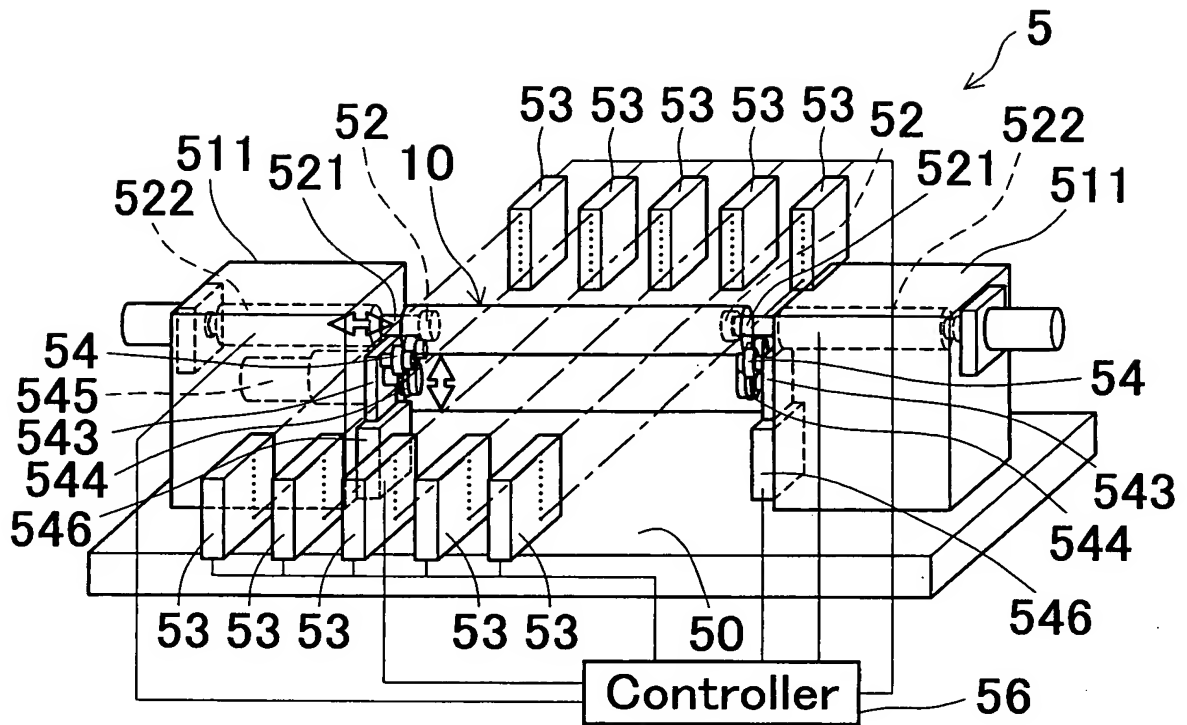


FIG. 17

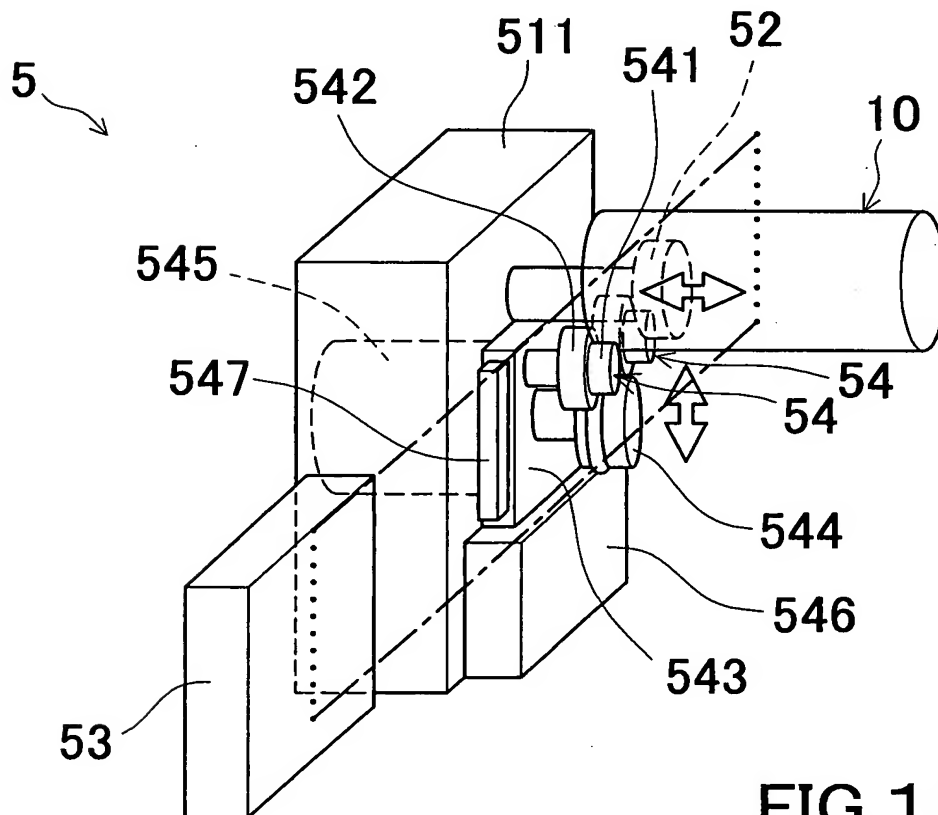


FIG. 18

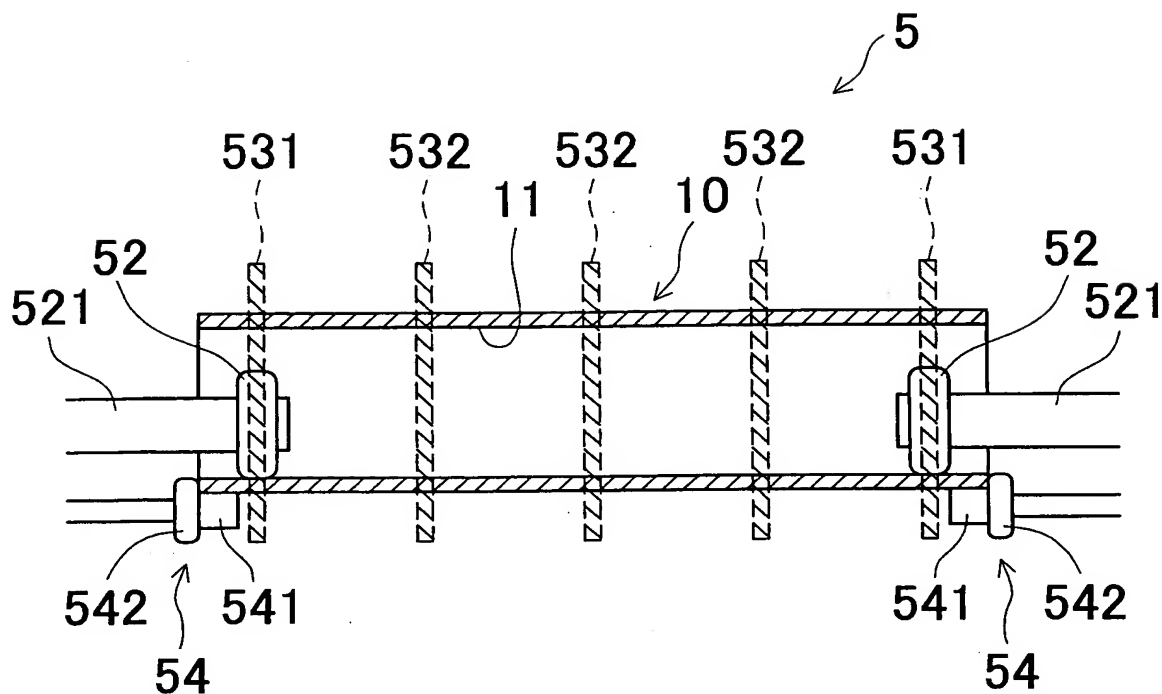


FIG. 19

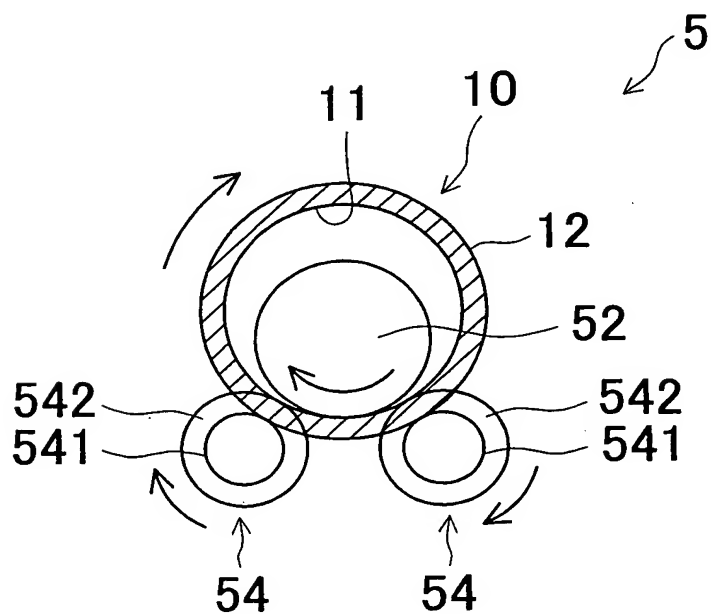


FIG. 20

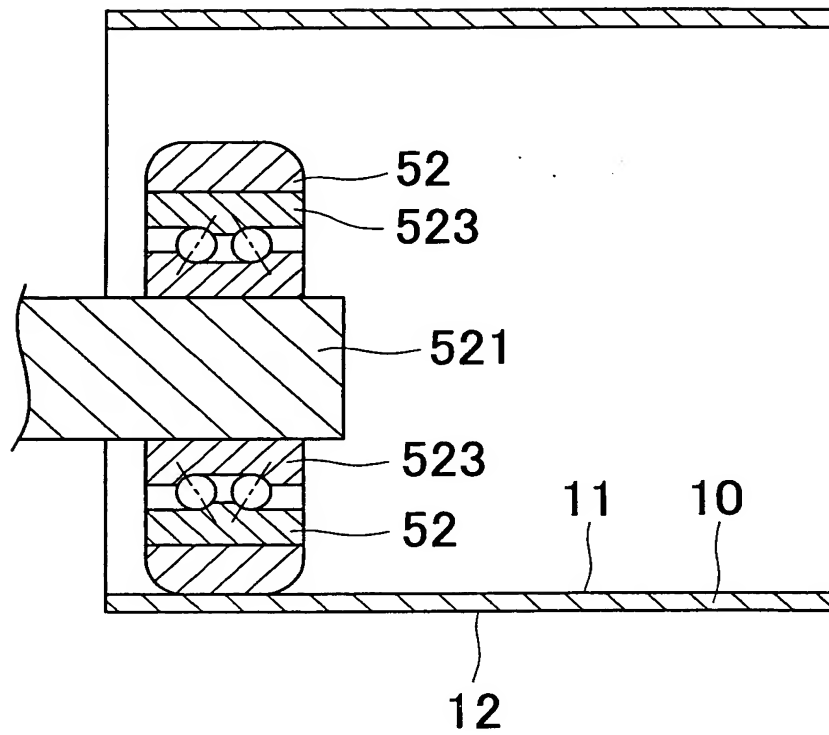


FIG.21

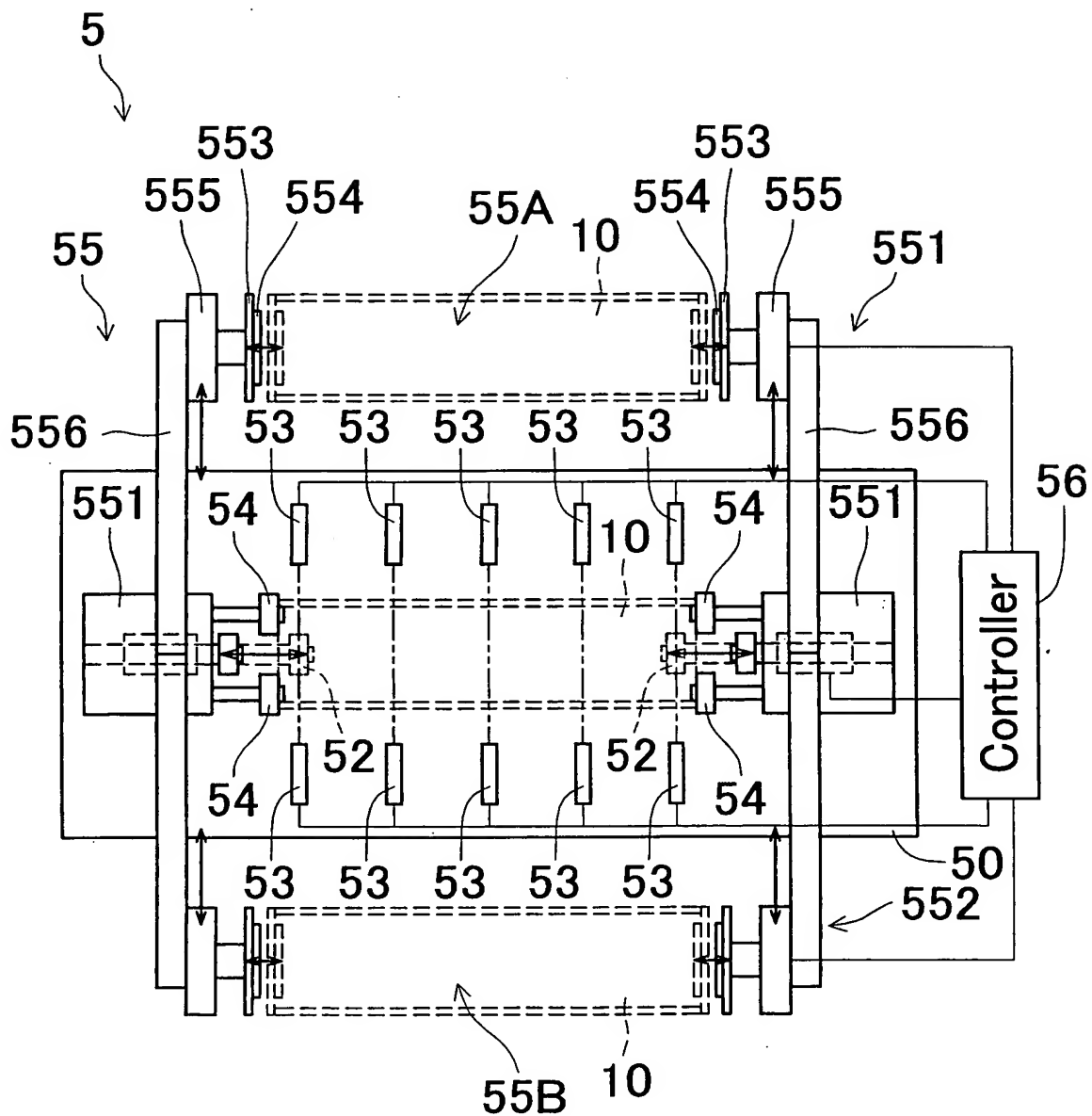


FIG.22

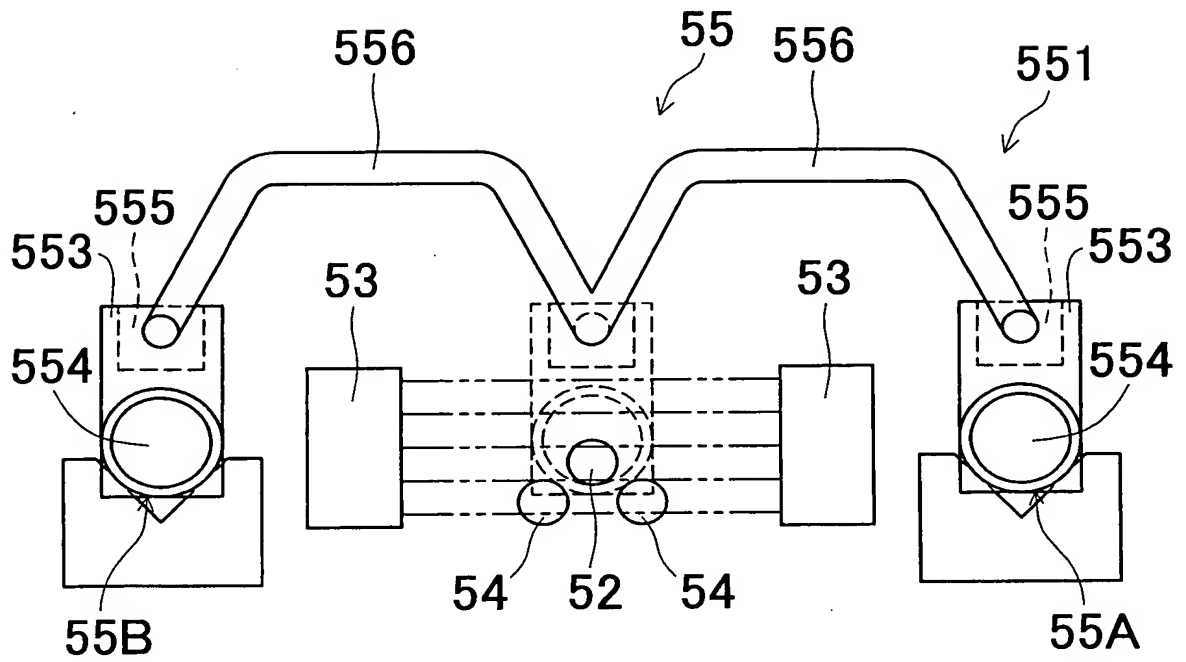


FIG.23

# Numerical scattering of judged values

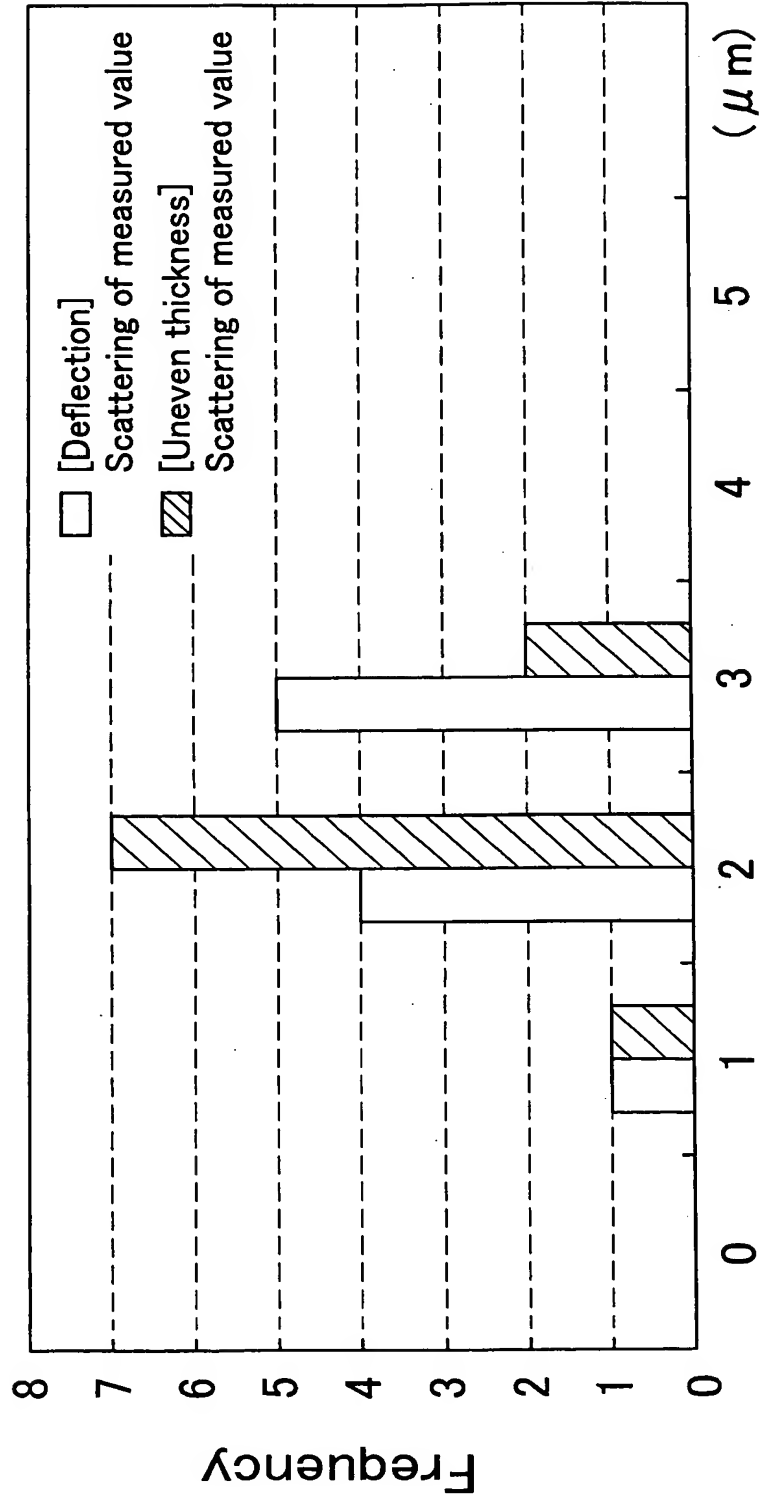


FIG.24



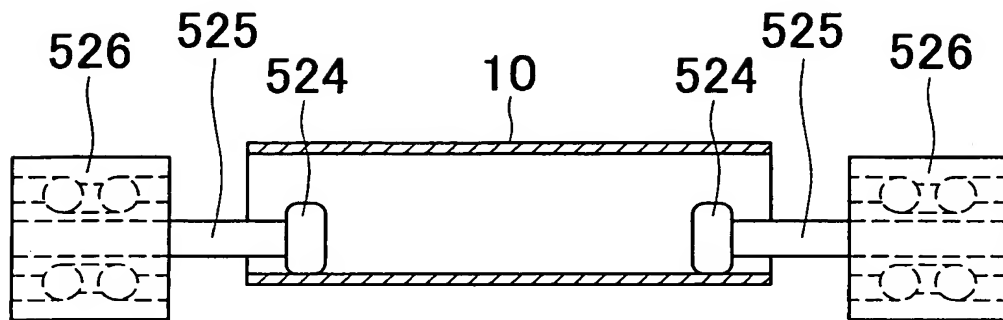


FIG.25

FIG.26

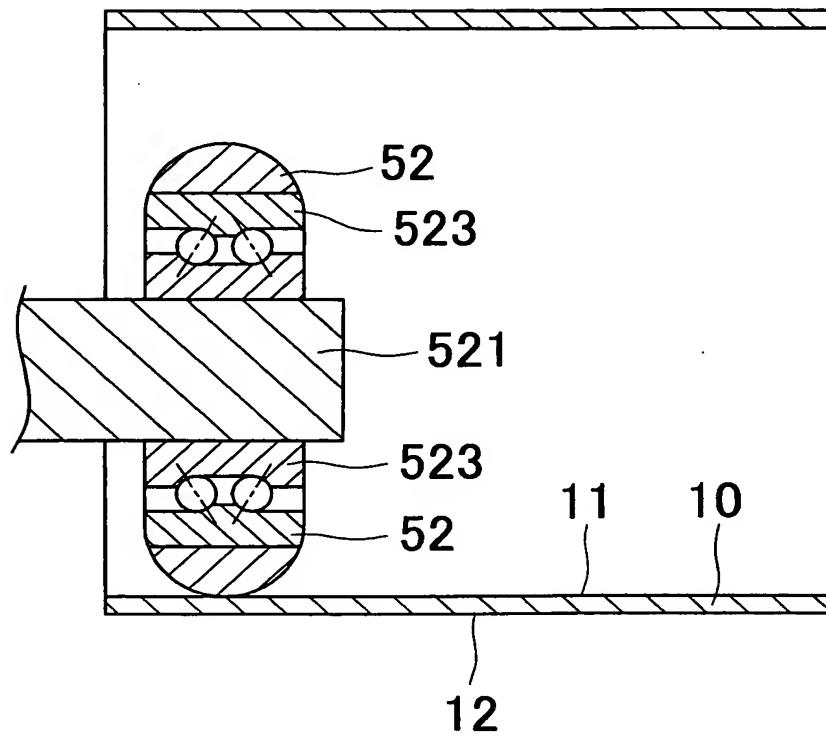


FIG.27



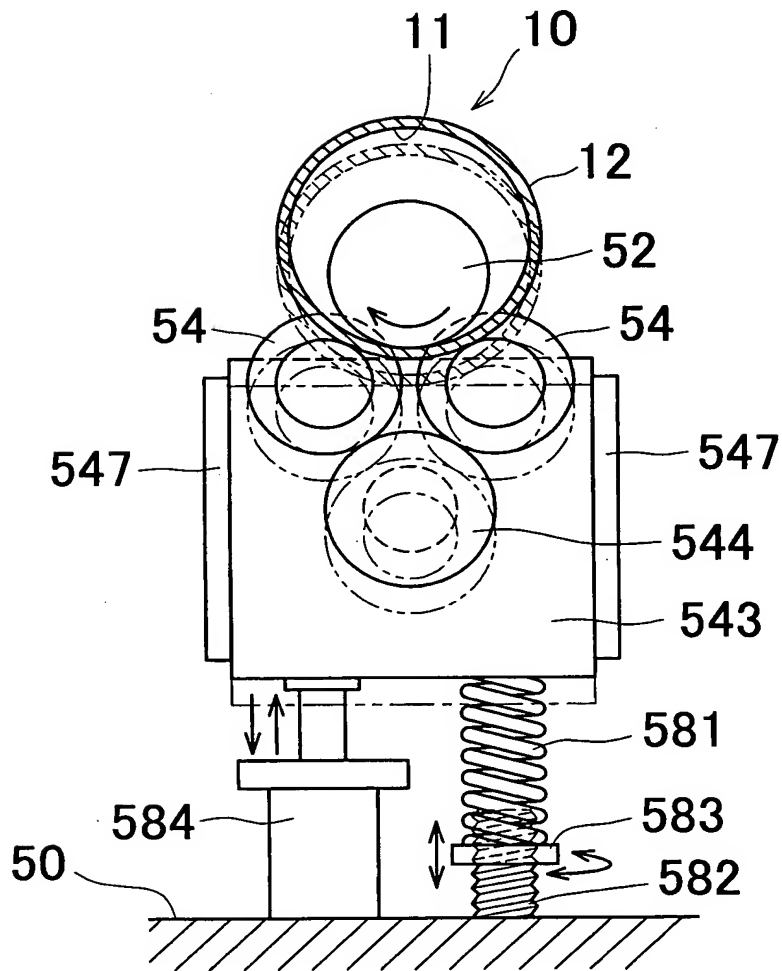


FIG.29

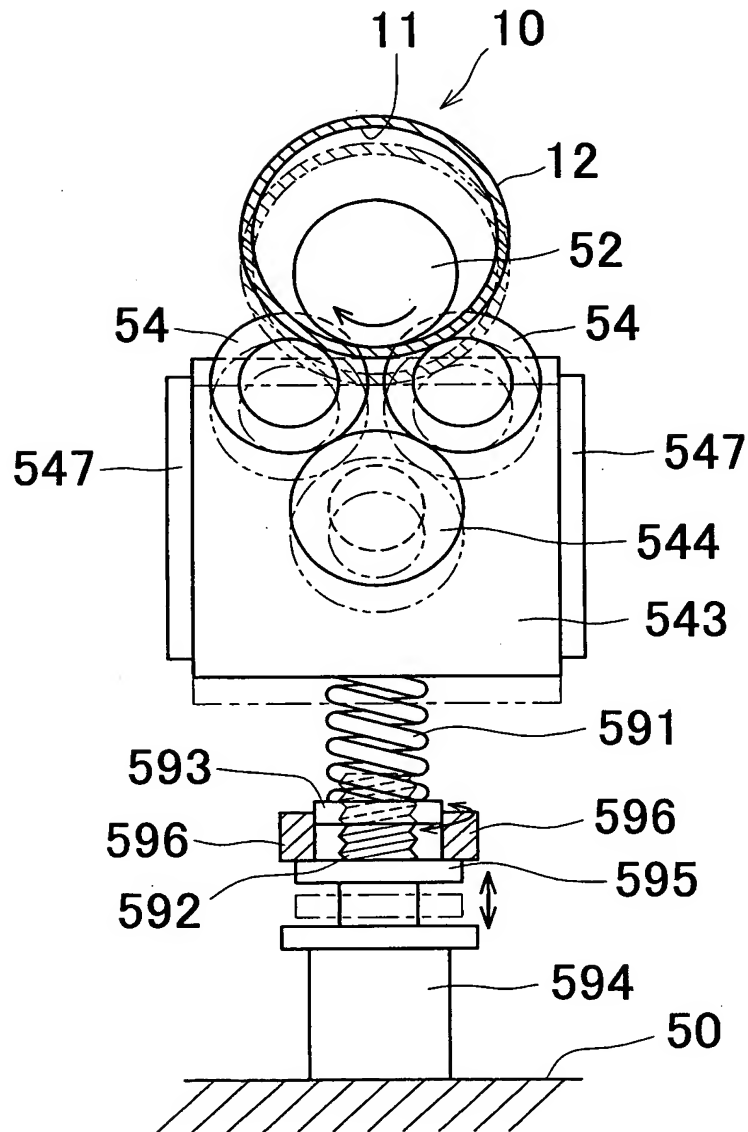


FIG.30

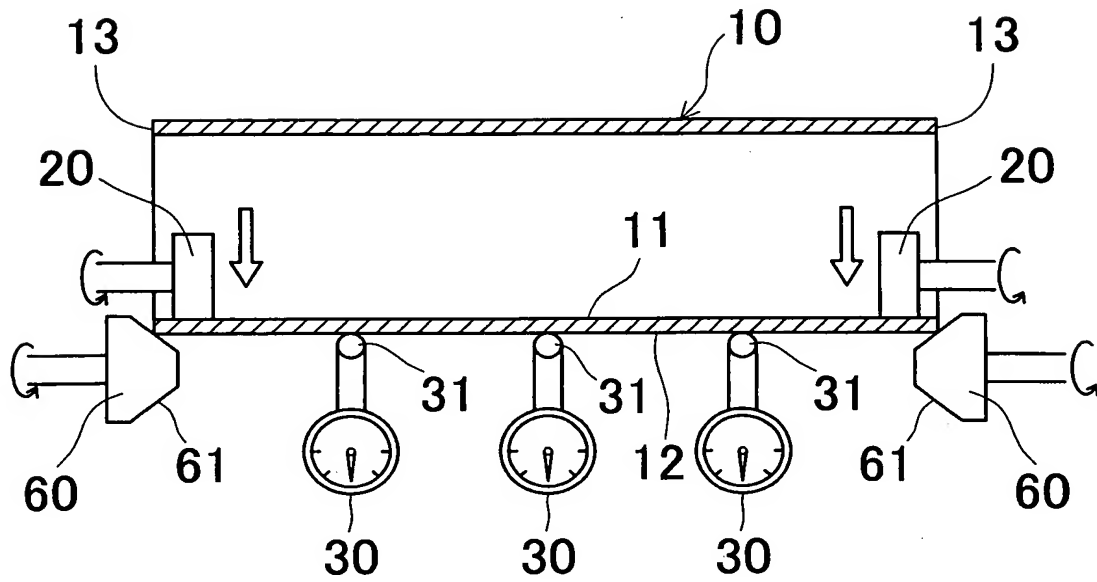


FIG.31

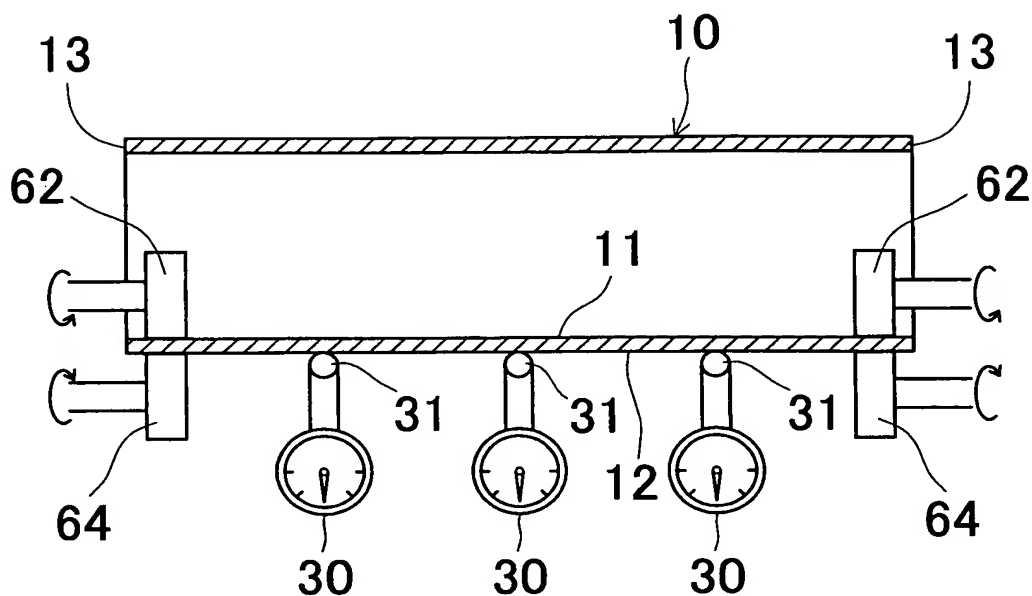


FIG. 32

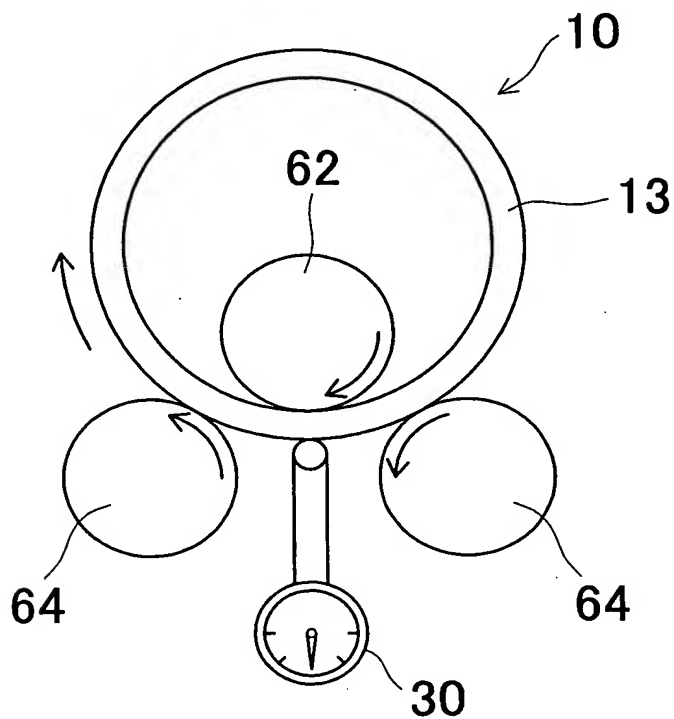


FIG. 33



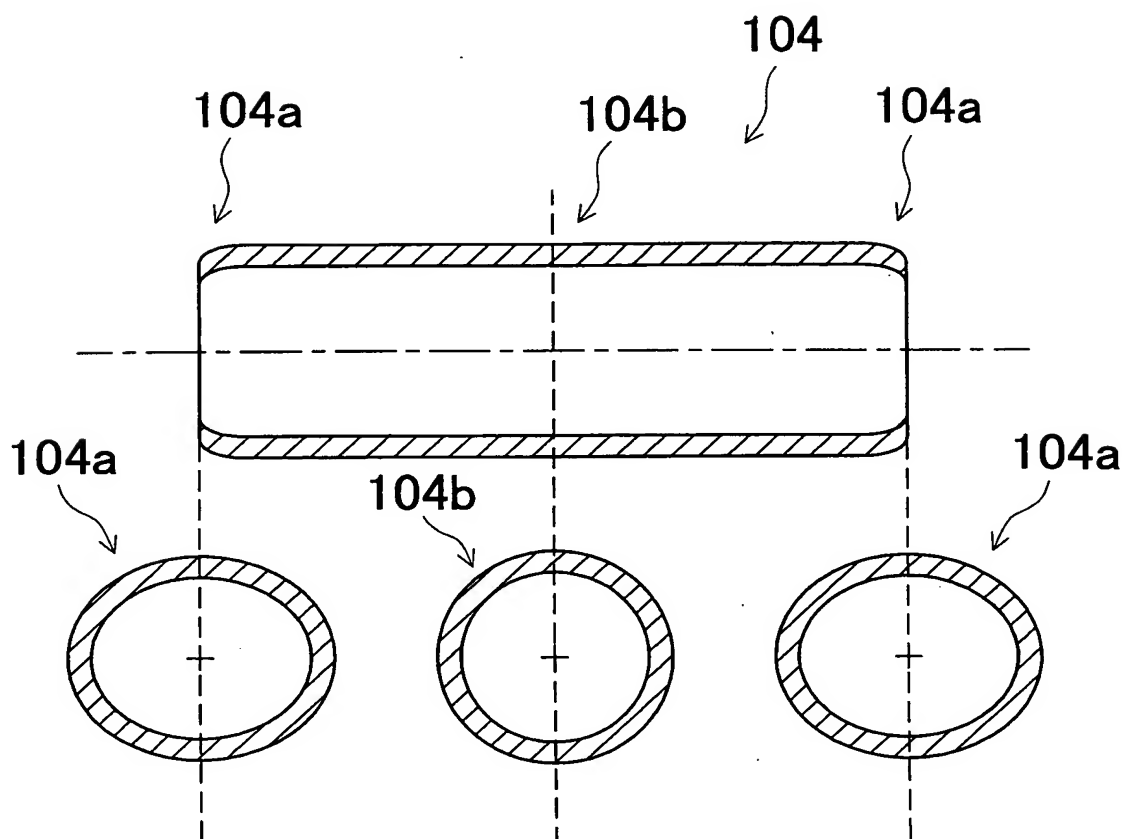


FIG.34

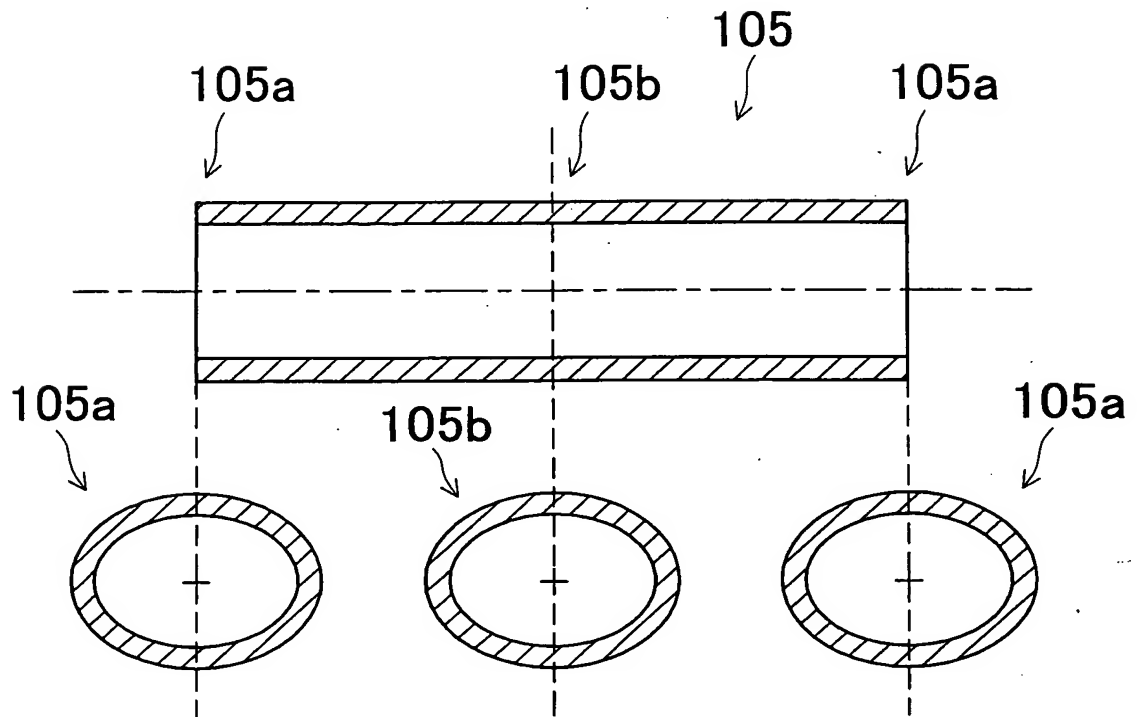


FIG. 35A

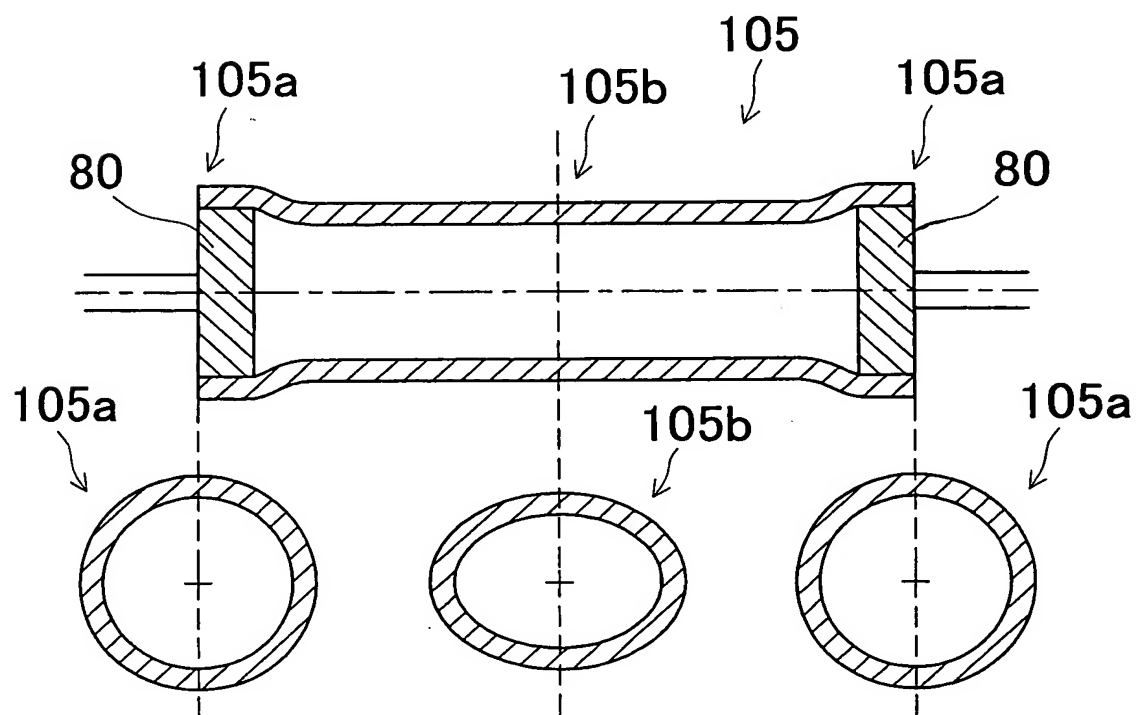


FIG. 35B

FIG.36

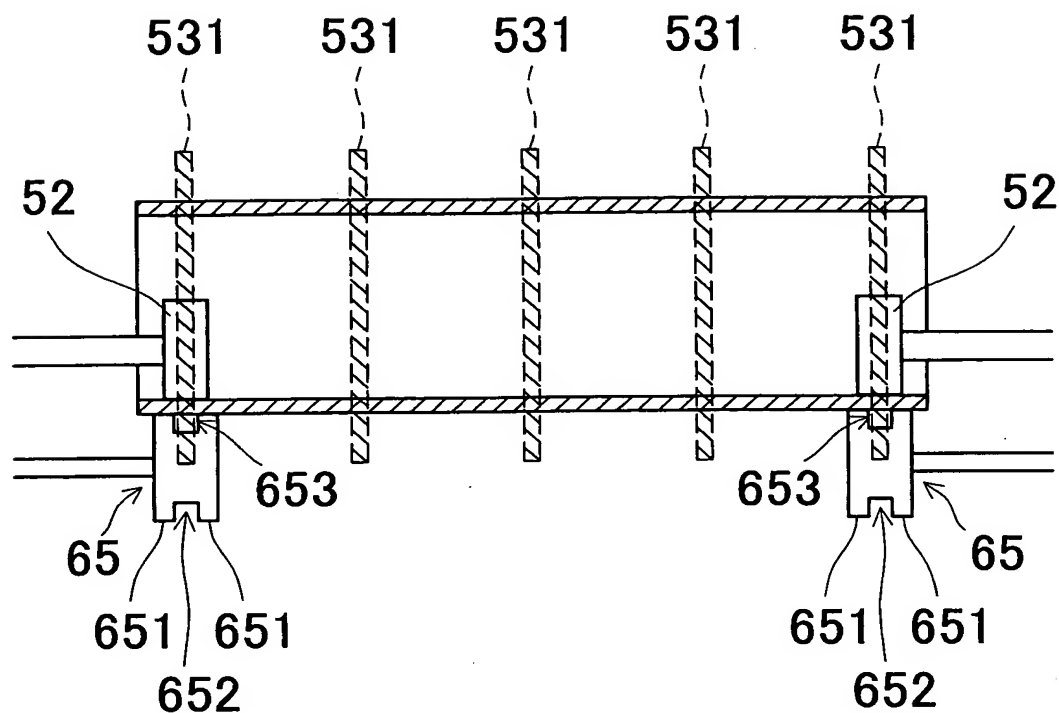
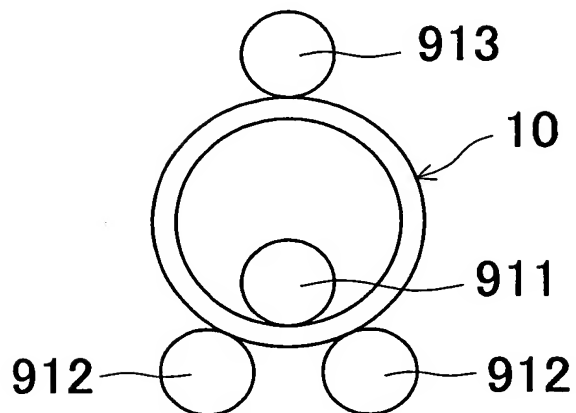
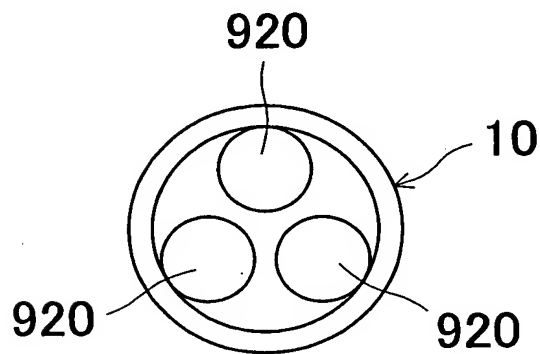


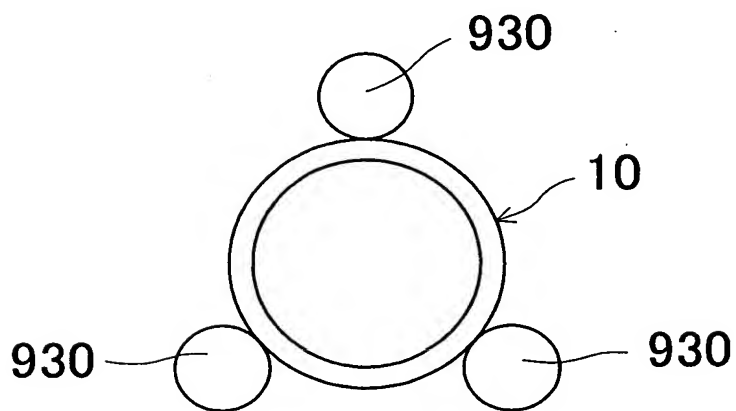
FIG.37



**FIG.38**



**FIG.39**



**FIG.40**

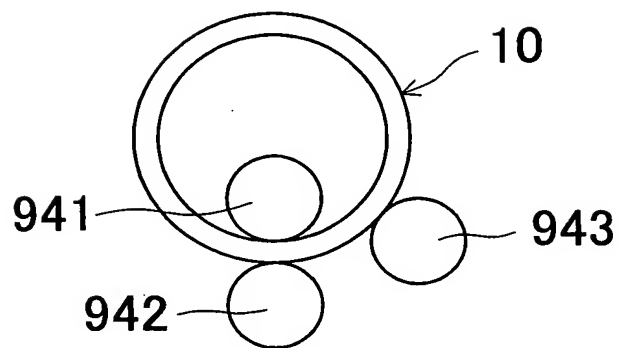


FIG. 41

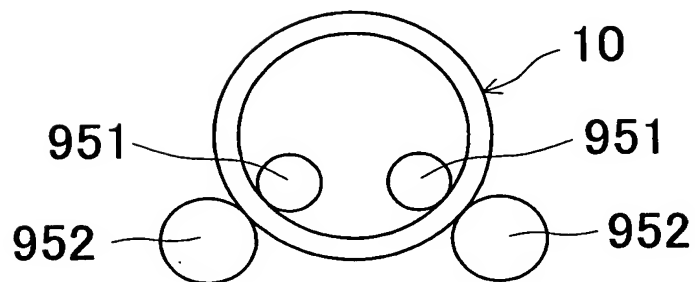


FIG. 42

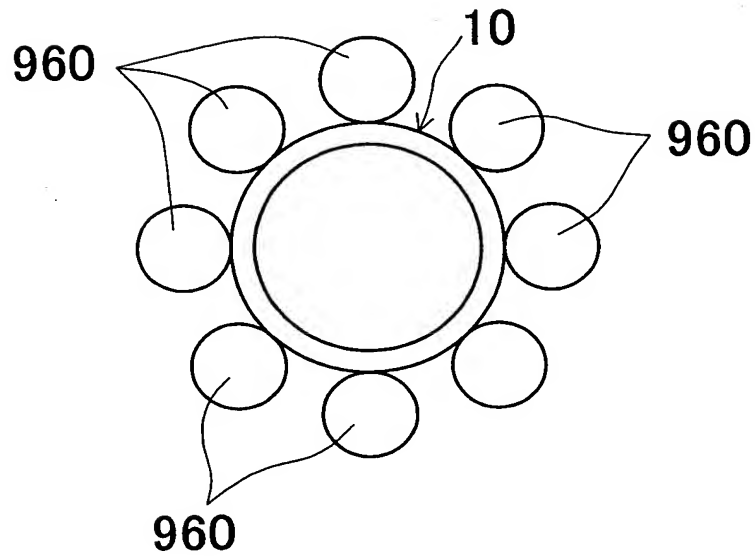


FIG. 43

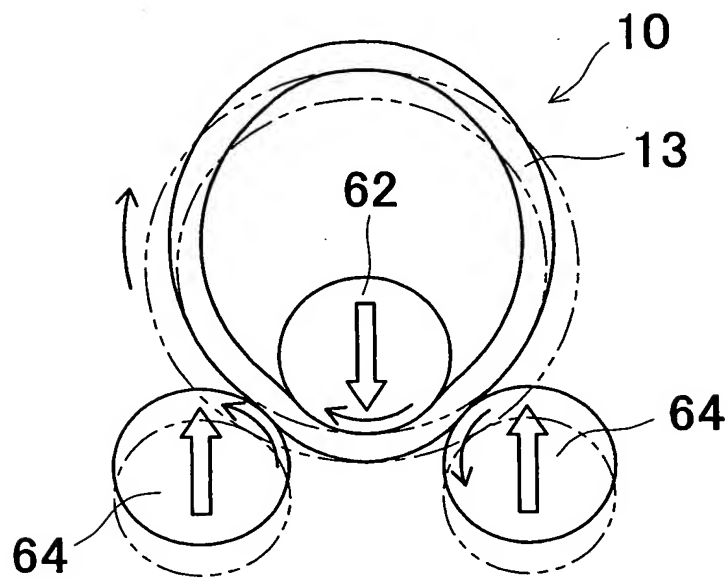


FIG. 44A

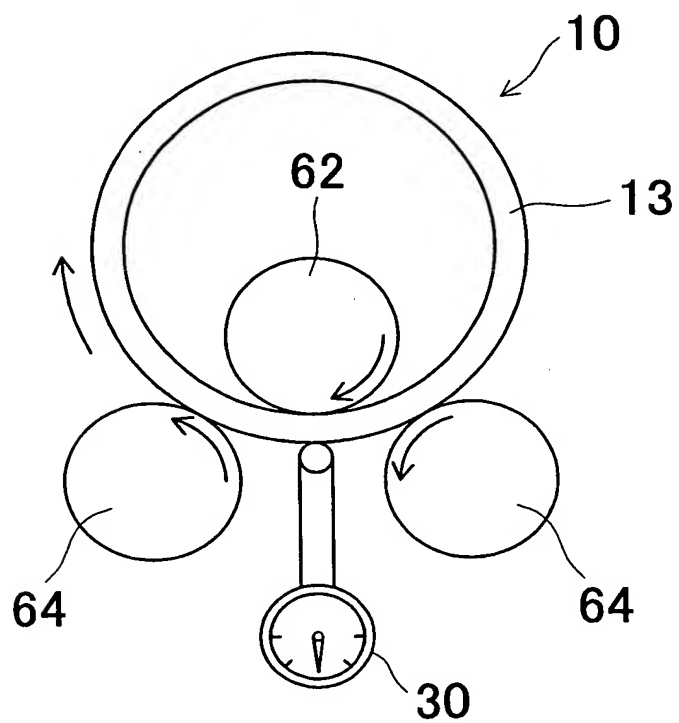


FIG. 44B



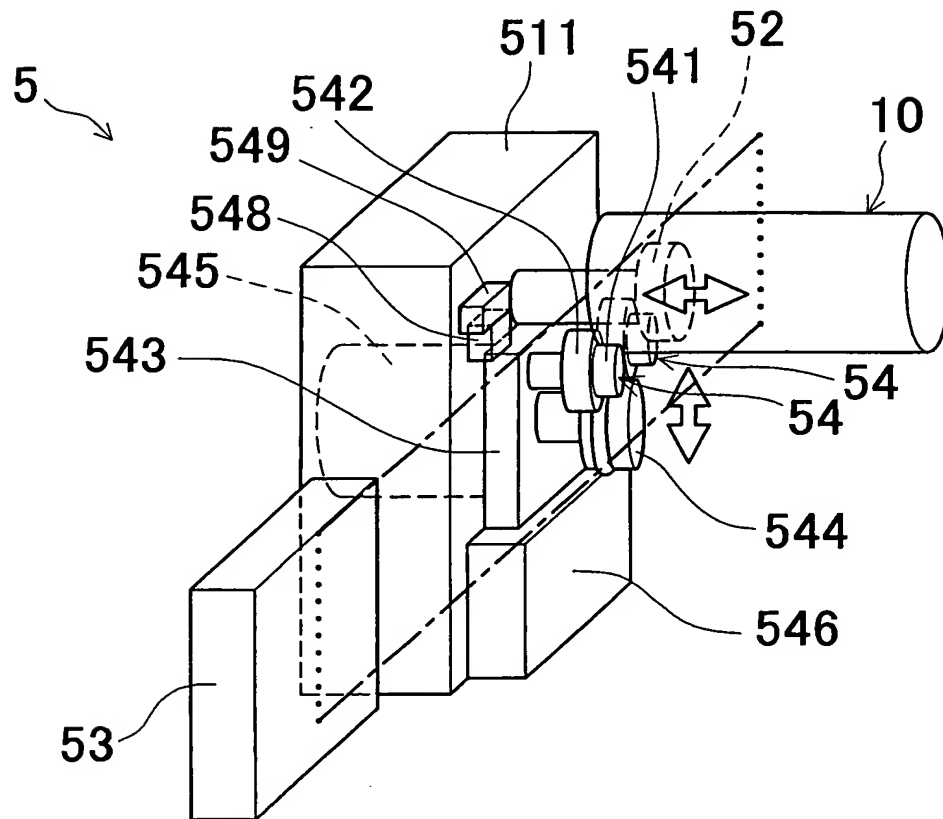


FIG.45

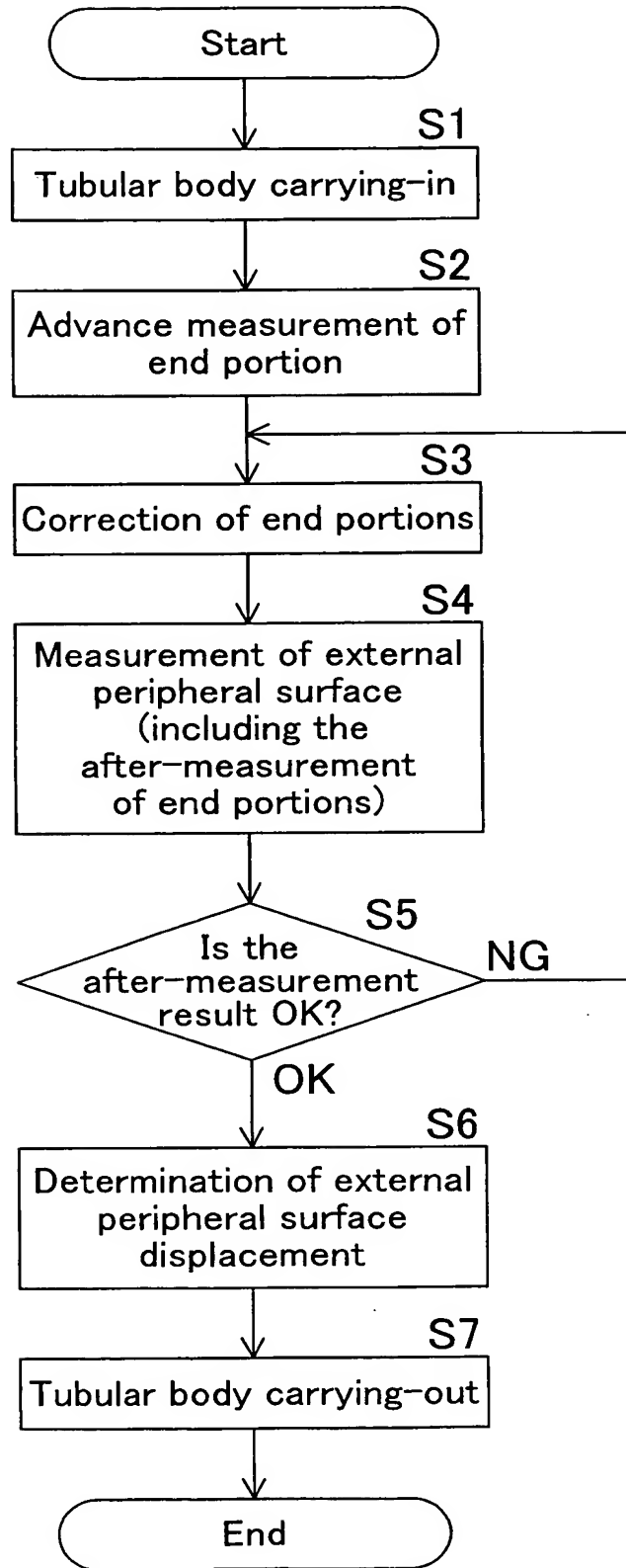


FIG.46

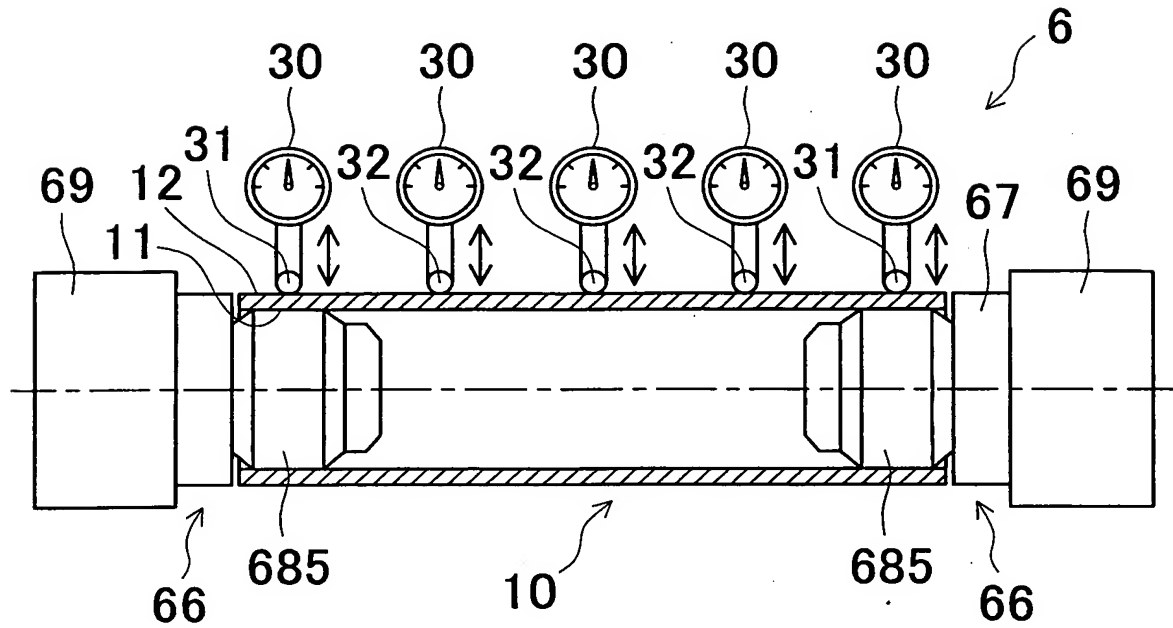


FIG.47

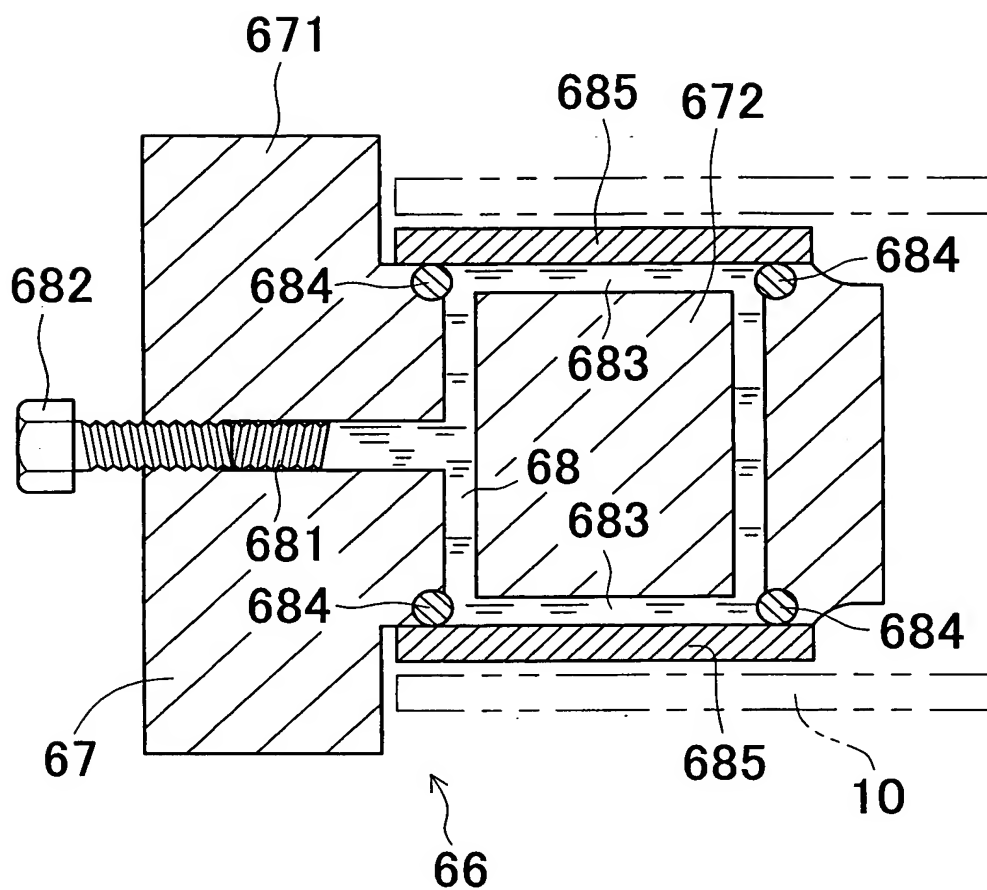


FIG.48

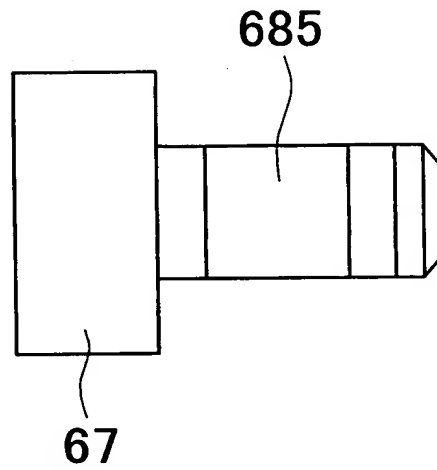


FIG. 49A

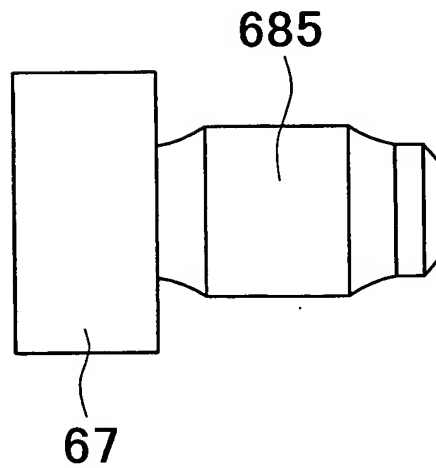
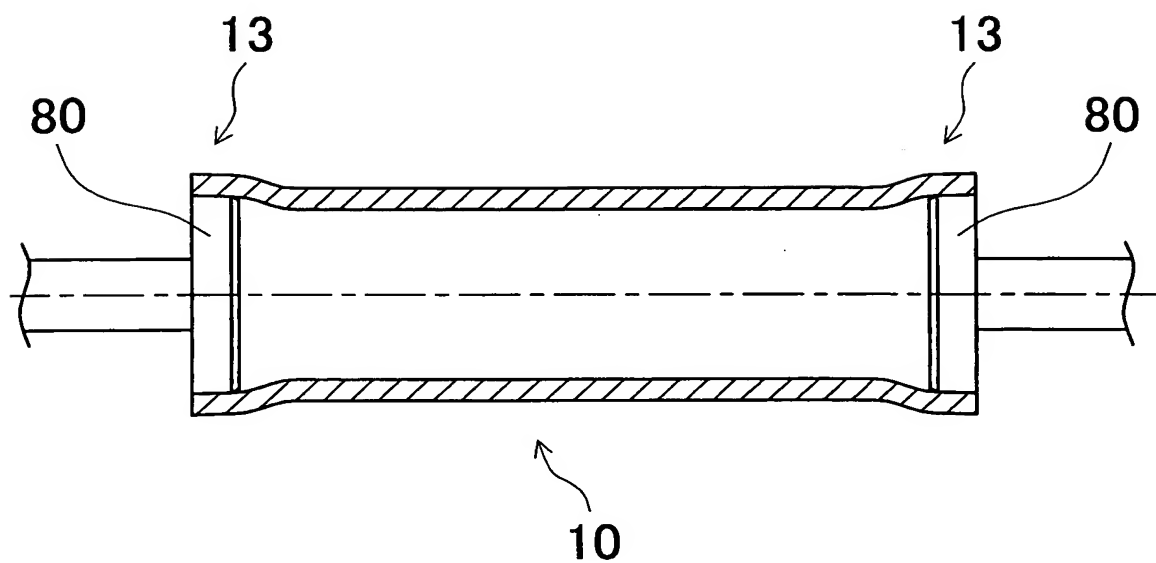


FIG. 49B



**FIG.50**

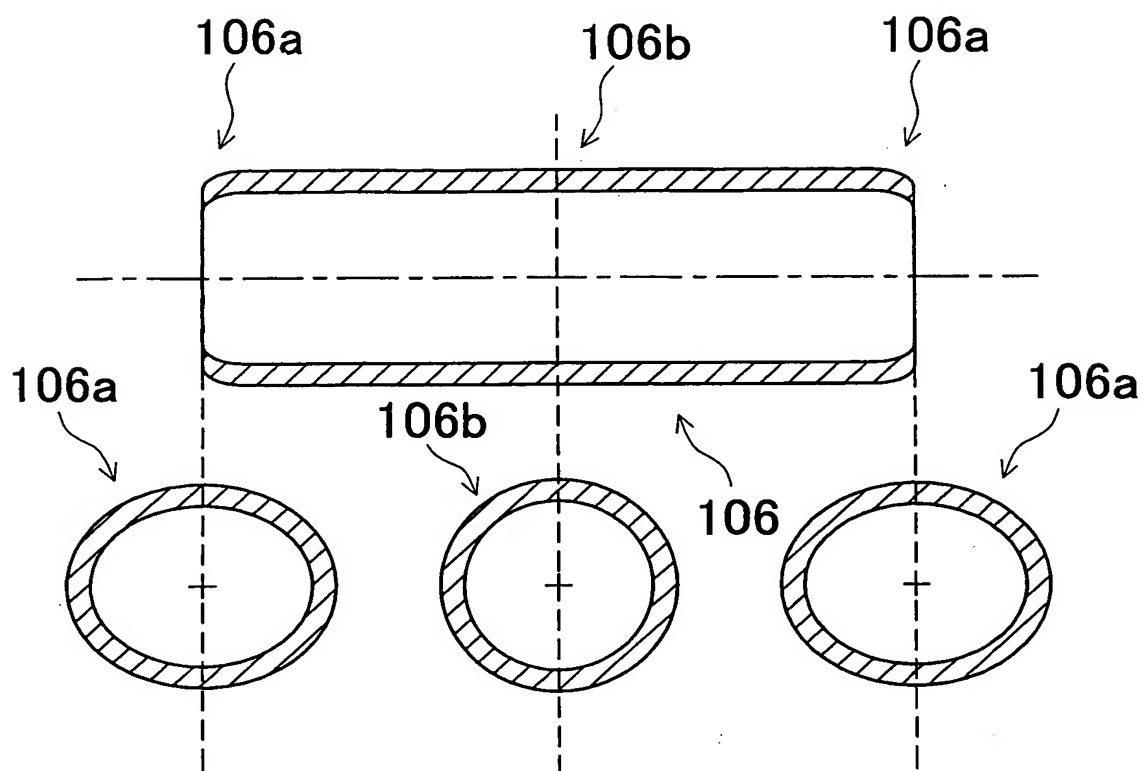


FIG. 51

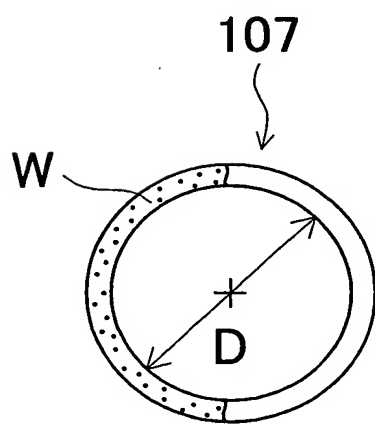


FIG. 52A

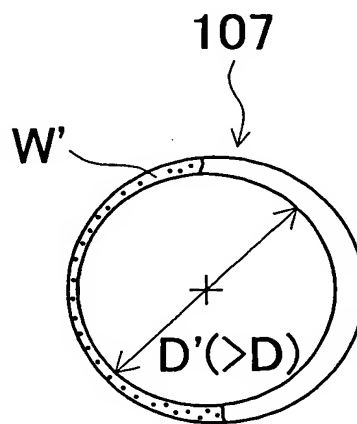


FIG. 52B

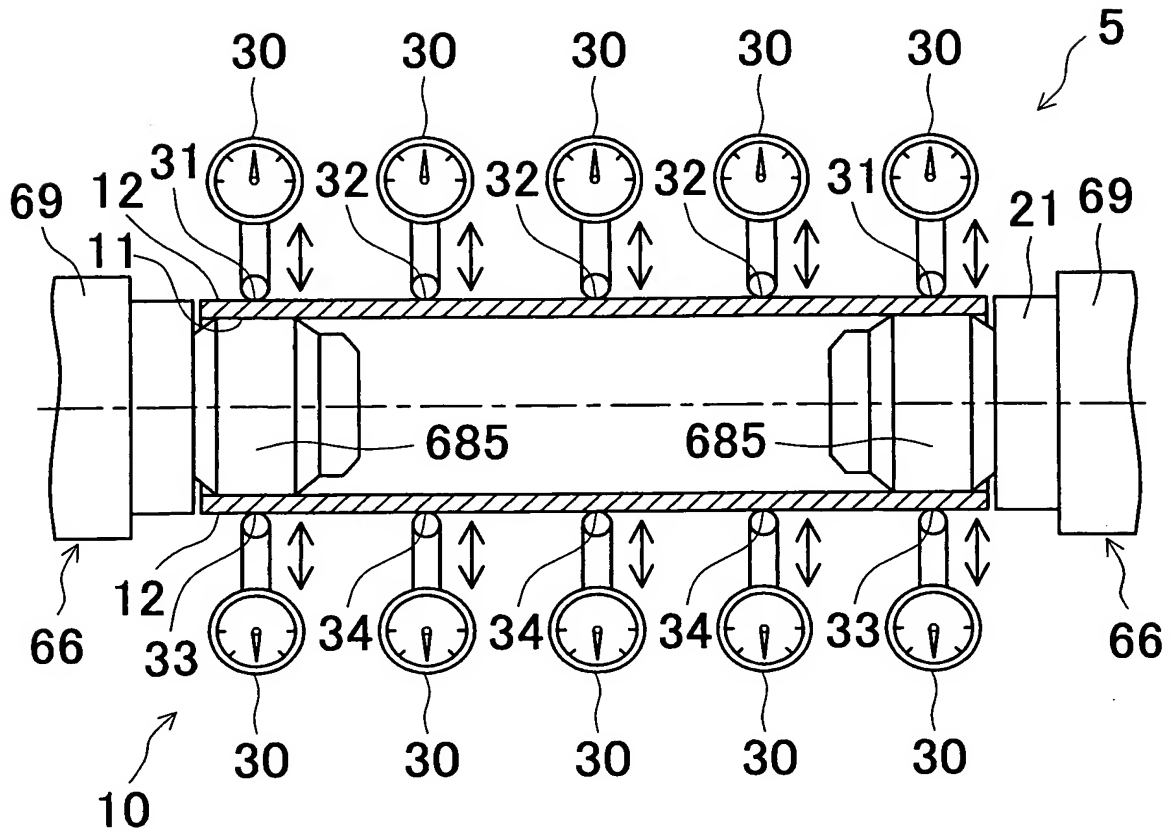


FIG.53



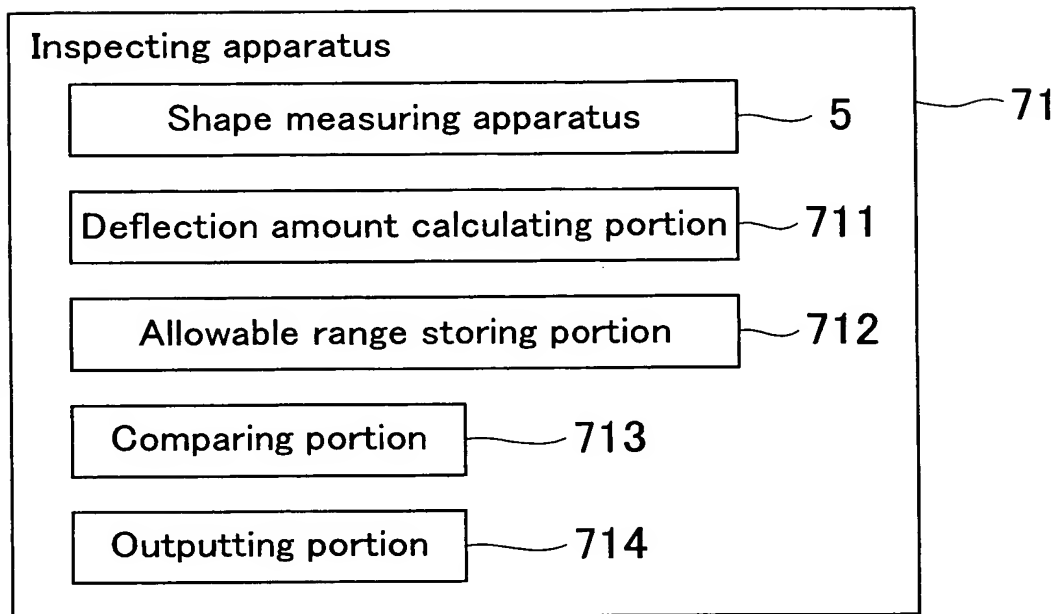


FIG.54

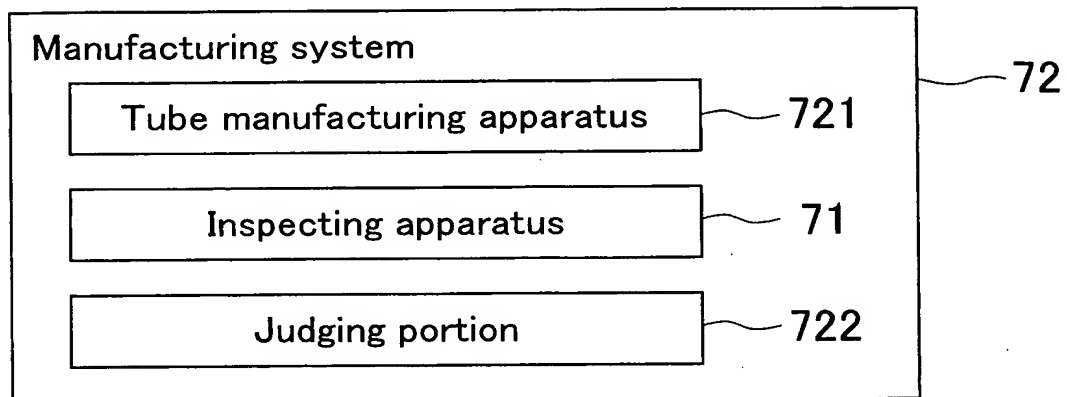


FIG.55

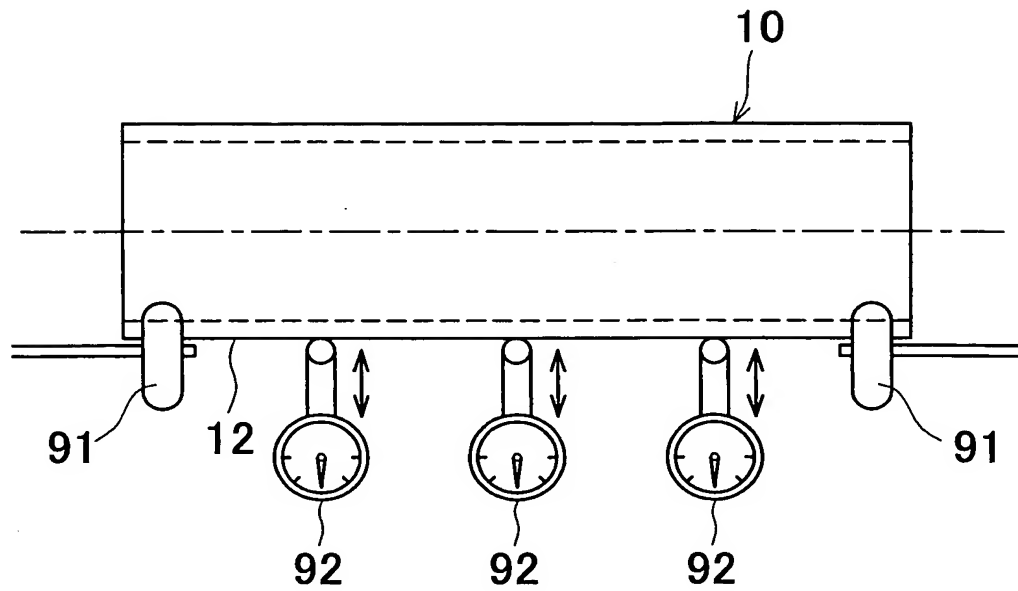


FIG. 56

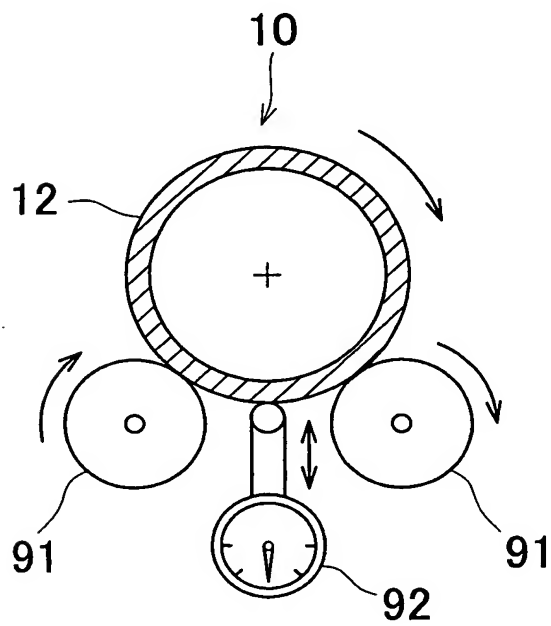


FIG. 57